

# Relatório de Atividade 06 - Modelos de predição não-paramétricos

Débora Nunes Pinto de Oliveira

Prof. Antonio Marcus, Estimação e Identificação de Sistemas 21.2

14 de setembro de 2021

Esse documento tem por objetivo descrever a caracterização de um preditor para um sistema a partir de técnicas não paramétricas.

## Table of Contents

[Introdução](#)

[Análise no domínio do tempo](#)

[Análise no domínio da frequência](#)

[Desenvolvimento](#)

[Resultados e discussões](#)

[Referências bibliográficas](#)

## Introdução

Nos exercícios anteriores, a identificação de uma planta era realizada conforme um modelo de referência. No entanto, as técnicas diretas de estimação restringem o sistema a uma família de modelos. Existem métodos que contornam essa problemática, as quais são nomeadas não paramétricas.

Nesse estudo, serão descritas duas formas de analisar a função de transferência  $G(q)$  de uma planta desconhecida: primeiramente no domínio do tempo; e, em segundo lugar, no domínio da frequência.

## Análise no domínio do tempo

Se um sistema é generalizado pela formulação

$$y(t) = G_0(t)u(t) + v(t) = \sum_{k=1}^{\infty} g_0(k)u(t-k) + v(t)$$

para  $u(t)$  o sinal pulso com magnitude  $\alpha$  e  $v(t)$  um ruído, a saída é dada por

$$y(t) = \alpha g_0(t) + v(t)$$

para  $g_0(t)$  a resposta ao impulso da função de transferência  $G_0(q)$ . Se o ruído for desprezível, é possível determinar os coeficientes da resposta ao impulso por;

$$g_0(t) = \frac{y(t)}{\alpha}$$

Todavia, muitos processos não são estáveis para sinais de pulso como entrada. Além disso, para  $u(t)$  de magnitude  $\alpha$ , há um erro  $v(t)/\alpha$  na estimativa acima.

Uma alternativa seria adotar  $u(t)$  como um degrau de magnitude  $\alpha$  a partir do instante  $t = 0$ . Dessa forma, a saída do sistema é dada por:

$$y(t) = \alpha \sum_{k=1}^t g_0(k) + v(t)$$

Sendo assim, as estimativas de  $g_0(t)$  são então encontradas por:

$$g_0(t) = \frac{y(t) - y(t-1)}{\alpha}$$

com um erro de  $[v(t) - v(t-1)]/\alpha$ . Apesar desse erro ser inferior ao computado pelo modelo que adota o pulso como sinal de entrada, não é possível garantir que os parâmetros estimados são próximos dos coeficientes reais da planta.

Uma forma de evitar que a estimativa derive da formulação de  $y(t)$  (que possui uma parcela  $v(t)$ ) é realizar a análise a partir da correlação dos sinais  $u(t)$  e  $y(t)$ , a qual é:

$$R_{yu}(\tau) = \sum_{k=1}^{\infty} g_0(k) R_u(k - \tau)$$

Essa expressão foi discutida durante a Atividade 02, e, por isso, seu desenvolvimento não será aqui explicitado. Se  $u(t)$  for escolhido como um ruído branco, tem-se que:

$$R_u(\tau) = \begin{cases} \alpha, \tau = 0 \\ 0, \tau \neq 0 \end{cases}$$

Logo, substituindo na equação de  $R_{yu}(\tau)$ :

$$g_0(\tau) = \frac{R_{yu}(\tau)}{\alpha}$$

Se  $u(t)$  não for um ruído branco, é possível truncar  $R_u(\tau)$  e encontrar uma aproximação de  $G_0(q)$ . Outra alternativa é empregar um filtro de "pré-branqueamento" em ambos sinais de saída  $y(t)$  e entrada  $u(t)$  para transformar  $u(t)$  em um sinal o mais aproximado possível de um ruído branco antes de calcular as covariâncias.

## Análise no domínio da frequência

Outro método para determinar o modelo de um processo desconhecido é a análise em frequência.

Suponha  $u(t) = \alpha \cos(\omega t)$ , para  $t = 0, 1, 2, \dots$ , logo:

$$y(t) = \alpha |G_0(e^{j\omega})| \cos(\omega t + \varphi) + v(t), \text{ para } \varphi = \angle G_0(e^{j\omega})$$

Dessa forma,  $y(t)$  é um sinal cosenooidal adicionado a um ruído. Conforme descrito por [1], a estimativa  $\hat{G}_N(q)$  pode ser encontrada considerando os seguintes passos:

- Calcule os seguintes somatórios para  $N$  amostras:

$$I_c(N) = \frac{1}{N} \sum_{t=1}^N y(t) \cos \omega t = \frac{\alpha}{2} |G_0(e^{j\omega})| \cos \varphi + \frac{\alpha}{2N} |G_0(e^{j\omega})| \sum_{t=1}^N \cos(2\omega t + \varphi) + \frac{1}{N} \sum_{t=1}^N v(t) \cos \omega t$$

$$I_s(N) = \frac{1}{N} \sum_{t=1}^N y(t) \sin \omega t = -\frac{\alpha}{2} |G_0(e^{j\omega})| \sin \varphi + \frac{\alpha}{2N} |G_0(e^{j\omega})| \sum_{t=1}^N \sin(2\omega t + \varphi) + \frac{1}{N} \sum_{t=1}^N v(t) \sin \omega t$$

- Estime  $\hat{G}_N$  tal que  $|\hat{G}_N(e^{j\omega})| = \frac{\sqrt{I_c^2(N) + I_s^2(N)}}{\alpha/2}$  e  $\angle \hat{G}_N(e^{j\omega}) = \arctan \frac{I_s(N)}{I_c(N)}$ .

Ao repetir o processo para uma série de frequências  $\omega$ , pode-se obter a estimativa  $\hat{G}_N(e^{j\omega})$  para múltiplas frequências. Entretanto, muitos sistemas não admitem entradas senoidais devido à persistência desse sinal. Sendo assim, de forma generalizada, pode-se estimar, de forma grosseira, que:

$$\hat{\hat{G}}_N(e^{j\omega}) = \frac{Y_N(\omega)}{U_N(\omega)}$$

para  $\omega$  a frequência do sinal de entrada,  $Y_N(\omega)$  a DFT da saída  $y(t)$  e  $U_N(\omega)$  a TDF (transformada discreta de Fourier) da entrada  $u(t)$ . A função  $\hat{\hat{G}}_N(e^{j\omega})$  é nomeada estimada empírica da função de transferência (*empirical transfer-function estimate* - ETFE), e só existe para  $U_N(\omega) \neq 0$ .

Conforme descrito no Teorema 2.1 de [1]:

$$Y_N(\omega) = G_0(e^{j\omega})U_N(\omega) + V_N(\omega) + R_N(\omega)$$

para  $R_N(\omega)$  o resíduo do truncamento da entrada  $u(t)$  no somatório e  $V_N(\omega)$  a DFT do ruído  $v(t)$ . Dessa forma, substituindo  $Y_N(\omega)$  na expressão de  $\hat{\hat{G}}_N(e^{j\omega})$ :

$$\hat{\hat{G}}_N(e^{j\omega}) = G_0(e^{j\omega}) + \frac{R_N(\omega) + V_N(\omega)}{U_N(\omega)}$$

Logo, o valor esperado da estimativa  $\hat{\hat{G}}_N(e^{j\omega})$  é:

$$E\hat{\hat{G}}_N(e^{j\omega}) = G_0(e^{j\omega}) + \frac{R_N(\omega)}{U_N(\omega)} + \frac{EV_N(\omega)}{U_N(\omega)}$$

Como  $EV_N = 0$ , é evidente que a equivalência entre o valor verdadeiro  $G_0(z)$  e a ETFE depende unicamente da parcela  $R_N(\omega)/U_N(\omega)$ . Existem estratégias para minimizar esse erro de viés (BIAS) conforme a excitação do sistema, isto é, aplicando sinais de entrada  $u(t)$  que minimizem a respectiva fração  $R_N(\omega)/U_N(\omega)$ .

Conforme discutido no Capítulo 2 de [1], o espectro  $\Phi_v(\omega)$  é uma versão suavizada da curva  $|V_N(\omega)|^2$ . Dessa forma, pode-se descrever que:

$$E|V_N(\omega)|^2 = \Phi_v(\omega) + \rho(N), \text{ para } \rho < C/N$$

para  $|u(t)| \leq C$ , para todo  $t$ . Sendo assim, a variância da ETFE não decai com o aumento de  $N$ , mas é proporcional à relação sinal ruído na respectiva frequência. Como o ruído  $v(t)$  é gaussiano, isto é, cada amostra independe do valor nos instantes anteriores e posteriores, é evidente que as propriedades em frequências diferentes são descorrelacionadas.

Uma solução para esse problema seria aumentar não a quantidade, mas a qualidade dos dados (*features*) de entrada do estimador, ou seja, assumir que as frequências são associadas entre si conforme a seguinte média ponderada:

$$\hat{G}_N(e^{j\omega_0}) = \frac{\sum_{k=k_1}^{k_2} \alpha_k \hat{\hat{G}}_N(e^{2\pi jk/N})}{\sum_{k=k_1}^{k_2} \alpha_k}, \text{ para } \alpha_k = \frac{|U_N(2\pi k/N)|^2}{\Phi_v(2\pi k/N)}$$

sendo  $\omega_0$  a frequência em que quero estimar  $G(z)$ , e assumindo que  $G_0(e^{j\omega})$  é constante no intervalo  $2\pi k_1/N < \omega < 2\pi k_2/N$ . É evidente que  $\alpha_k$  é o inverso da relação sinal-ruído para a frequência  $2\pi k/N$ .

Para  $N$  grande, é possível aproximar o somatório por uma integral de tal forma que:

$$\hat{G}_N(e^{j\omega_0}) = \frac{\int_{\omega-\Delta\omega}^{\omega+\Delta\omega} W_\gamma(\xi - \omega_0) \alpha(\xi) \hat{\hat{G}}_N(e^{j\xi}) d\xi}{\int_{\omega-\Delta\omega}^{\omega+\Delta\omega} W_\gamma(\xi - \omega_0) \alpha(\xi) d\xi}, \text{ para } W_\gamma(\xi) \text{ um degrau unitário centrado em } \xi = 0 \text{ e largura } 2\Delta\omega,$$

Substituindo  $\alpha(\xi) = |U_N(\xi)|^2/\Phi_v(\omega_0)$ , obtém-se que:

$$\hat{G}_N(e^{j\omega_0}) = \frac{\int_{-\pi}^{\pi} W_{\gamma}(\xi - \omega_0) |U_N(\xi)|^2 \hat{G}_N(e^{j\xi}) d\xi}{\int_{-\pi}^{\pi} W_{\gamma}(\xi - \omega_0) |U_N(\xi)|^2 d\xi}$$

Entretanto, para  $N \rightarrow \infty$ , tem-se que  $|U_N(\varepsilon)|^2 \rightarrow \Phi_u(\varepsilon)$ . Além disso, se  $W_{\gamma}(\varepsilon)$  for tal que  $\int_{-\pi}^{\pi} W_{\gamma}(\varepsilon) d\varepsilon = 1$ , a ponderação é concentrada ao redor de  $\varepsilon = 0$  em uma largura  $2\Delta\omega$ , tal que  $\Phi_u(\omega)$  é aproximadamente constante. Dessa forma:

$$\int_{-\pi}^{\pi} W_{\gamma}(\xi - \omega_0) |U_N(\xi)|^2 d\xi = \int_{-\pi}^{\pi} W_{\gamma}(\xi - \omega_0) \Phi_u(\xi) d\xi = \Phi_u^N(\omega_0)$$

Analogamente, já que:

$$|U_N(\xi)|^2 \hat{G}_N(e^{j\xi}) = |U_N(\xi)|^2 \frac{Y_N(\xi)}{U_N(\xi)} = Y_N(\xi) \bar{U}_N(\xi)$$

é possível encontrar que:

$$\Phi_{yu}^N(\omega_0) = \int_{-\pi}^{\pi} W_{\gamma}(\xi - \omega_0) Y_N(\xi) \bar{U}_N(\xi) d\xi = \int_{-\pi}^{\pi} W_{\gamma}(\xi - \omega_0) |U_N(\xi)|^2 \hat{G}_N(e^{j\xi}) d\xi$$

Sendo assim, é possível reescrever a estimativa  $\hat{G}_N(e^{j\omega_0})$  como:

$$\hat{G}_N(e^{j\omega_0}) = \frac{\Phi_{yu}^N(\omega_0)}{\Phi_u^N(\omega_0)}$$

Outra maneira de representar  $\Phi_u^N(\omega)$  é a partir da série de Fourier do periodograma  $|U_N(\omega)|^2$ , a qual é dada pela covariância do sinal  $u(t)$ :

$$\hat{R}_u^N(\tau) = \frac{1}{2\pi} \int_{-\pi}^{\pi} |U_N(\omega)|^2 e^{j\tau\omega} d\omega \rightarrow \frac{1}{N} \sum_{t=1}^N u(t)u(t-\tau)$$

Similarmente, os coeficientes de Fourier para a função  $2\pi W_{\gamma}(\xi)$  é:

$$w_{\gamma}(\tau) = \int_{-\pi}^{\pi} W_{\gamma}(\xi) e^{j\tau\xi} d\xi$$

Como a integral  $\Phi_u^N(\omega)$  é uma convolução, ela é equivalente à multiplicação dos coeficientes de Fourier:

$$\Phi_u^N(\omega) = \sum_{\tau=-\infty}^{\infty} w_{\gamma}(\tau) \hat{R}_u^N(\tau) e^{-j\tau\omega}$$

Agora, é evidente que  $W_{\gamma}(\xi)$  deve ser escolhido de tal forma que  $w_{\gamma}(\tau) = 0$ , para  $|\tau| < \delta_{\gamma}$  e  $\delta_{\gamma} \ll N$ . Sendo assim, o espectro de  $u(t)$  é reescrito como:

$$\Phi_u^N(\omega) = \sum_{\tau=-\delta_{\gamma}}^{\delta_{\gamma}} w_{\gamma}(\tau) \hat{R}_u^N(\tau) e^{-j\tau\omega}$$

## Desenvolvimento

Nessa atividade, é proposta a estimação de uma função de transferência  $G(z)$  conhecida. Essa planta foi simulada e, a sua saída  $y(t)$ , foi adicionado um ruído branco  $e(t)$  de média nula e variância unitária. O processo ARMA que define  $y(t)$  é dado por:

$$y(t) - 1.5y(t-1) + 0.7y(t-2) = u(t-1) + 0.5u(t-2) + e(t)$$

Assim, é evidente que:

$$G_0(q) = \frac{z^{-1} + 0.5z^{-2}}{1 - 1.5z^{-1} + 0.7z^{-2}}$$

Primeiramente, será obtida a ETFE a partir da seguinte formulação discutida na seção [Introdução](#):

$$\hat{\hat{G}}_N(e^{j\omega}) = \frac{Y_N(\omega)}{U_N(\omega)}$$

para  $Y_N(\omega)$  e  $U_N(\omega)$  as transformadas discretas de Fourier de  $y(t)$  e  $u(t)$ , respectivamente. Em seguida, esse resultado será comparado com as suavizações  $\hat{G}_N(e^{j\omega})$  obtidas a partir da expressão:

$$\hat{G}_N(e^{j\omega_0}) = \frac{\int_{-\pi}^{\pi} W_{\gamma}(\xi - \omega_0) |U_N(\xi)|^2 \hat{\hat{G}}_N(e^{j\xi}) d\xi}{\int_{-\pi}^{\pi} W_{\gamma}(\xi - \omega_0) |U_N(\xi)|^2 d\xi}$$

Para o janelamento, serão consideradas três funções dependentes do parâmetro  $\gamma$ :

- Janela de Bartlett:  $W_{\gamma}(\omega) = \frac{1}{2\pi\gamma} \left( \frac{\sin(\gamma\omega/2)}{\sin(\omega/2)} \right)^2$
- Janela de Parzen:  $W_{\gamma}(\omega) = \frac{2(2 + \cos \omega)}{\pi\gamma^3} \left( \frac{\sin(\gamma\omega/4)}{\sin(\omega/2)} \right)^4$
- Janela de Hamming:  
 $W_{\gamma}(\omega) = \frac{1}{2\pi} \left[ 0.5D_{\gamma}(\omega) + 0.25D_{\gamma}(\omega - \pi/\gamma) + 0.25D_{\gamma}(\omega + \pi/\gamma) \right], D_{\gamma}(\omega) = \frac{\sin((\gamma + 0.5)\omega)}{\sin(\omega/2)}$

Por sua vez, o parâmetro  $\gamma$  será definido em três valores: 10, 50 e 100. Em todas as formulações acima apresentadas, o parâmetro  $\gamma$  é proporcional à largura da janela  $\Delta\omega_0$ .

Por fim, a estimativa  $\hat{\hat{G}}_N(e^{j\omega})$  será encontrada pela mesma integral acima destacada, porém considerando que  $\lim_{N \rightarrow \infty} |U_N(\xi)|^2 \approx \Phi_u(\xi)$  para  $\Phi_u(\xi)$  a TDF da correlação  $R_u(\tau)$ .

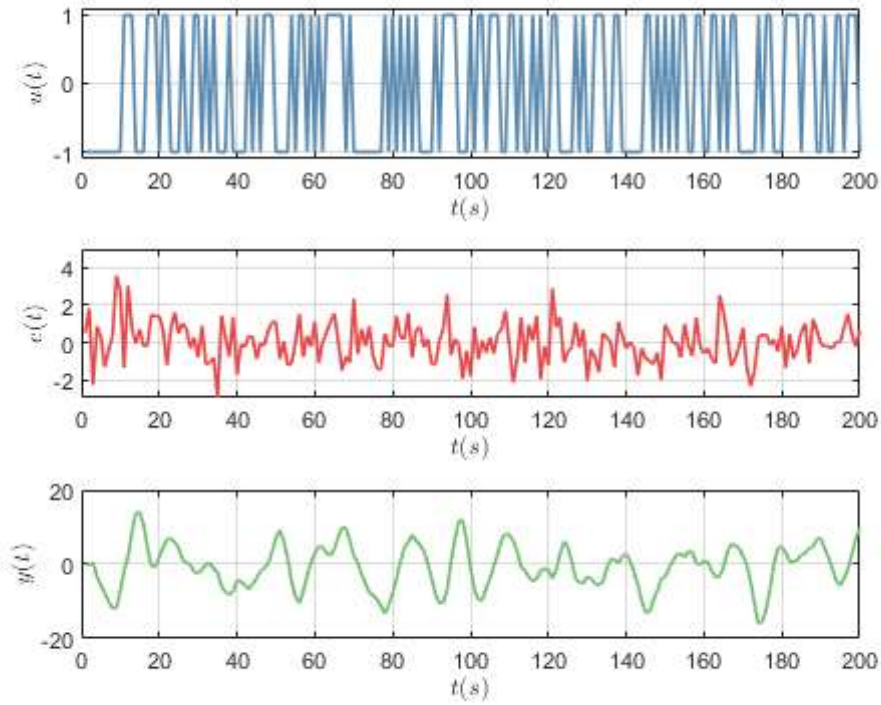
Em conclusão, essas três estimativas serão comparadas com a função de transferência  $G(z)$  real conhecida.

## Resultados e discussões

Para os experimentos descritos nesse relatório, foi utilizada uma entrada  $u(t)$  como um sinal PRBS. Além disso, conforme apresentado na seção [Desenvolvimento](#), o sinal  $e(t)$  é um ruído branco de média nula. Esses sinais simulados, acompanhados da saída  $y(t)$  computada a partir da equação do processo ARMA, estão ilustrados na [Figura 1](#).

myInput

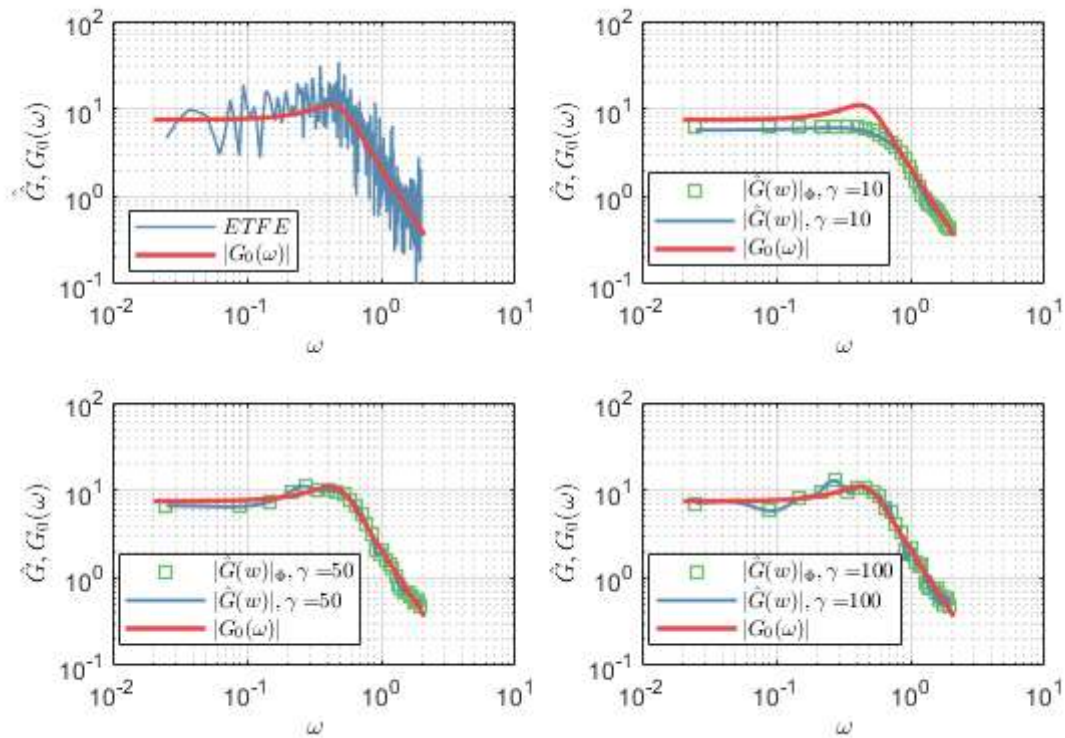
Warning: The PRBS signal delivered is the 1000 first values of a full sequence of length 1023.



**Figura 1:** Sinal de entrada  $u(t)$ , ruído branco  $e(t)$  e saída do processo  $y(t)$ .

Em seguida, as estimativas  $\hat{\hat{G}}_N(e^{j\omega})$  e  $\hat{G}_N(e^{j\omega})$  para a janela de Parzen e  $\gamma \in \{10, 50, 100\}$  podem ser observados na [Figura 2](#). Foram consideradas 1000 amostras, ou seja,  $N = 1000$ .

myParzen



**Figura 2:** Estimativas  $\hat{\hat{G}}_N(e^{j\omega})$  e  $\hat{G}_N(e^{j\omega})$  para a janela de Parzen e  $\gamma \in \{10, 50, 100\}$

Analisando a ETFE apresentada na [Figura 2](#), é possível observar como essa estimativa é errática em relação à função conhecida  $G_0(\omega)$ . Por sua vez, examinando as estimativas suavizadas pós-



janelamento  $\hat{G}_N(e^{j\omega})$ , fica clara a melhor precisão em relação à função de transferência simulada quando comparada a ETFE. Por fim, a [Figura 2](#) destaca a equivalência entre  $\lim_{N \rightarrow \infty} |U_N(\xi)|^2 \approx \Phi_u(\xi)$ , visto que  $\hat{G}(\omega)$  computado com base em  $|U_N(\xi)|^2$  é equivalente a estimativa que emprega a aproximação  $\Phi_u(\xi)$ .

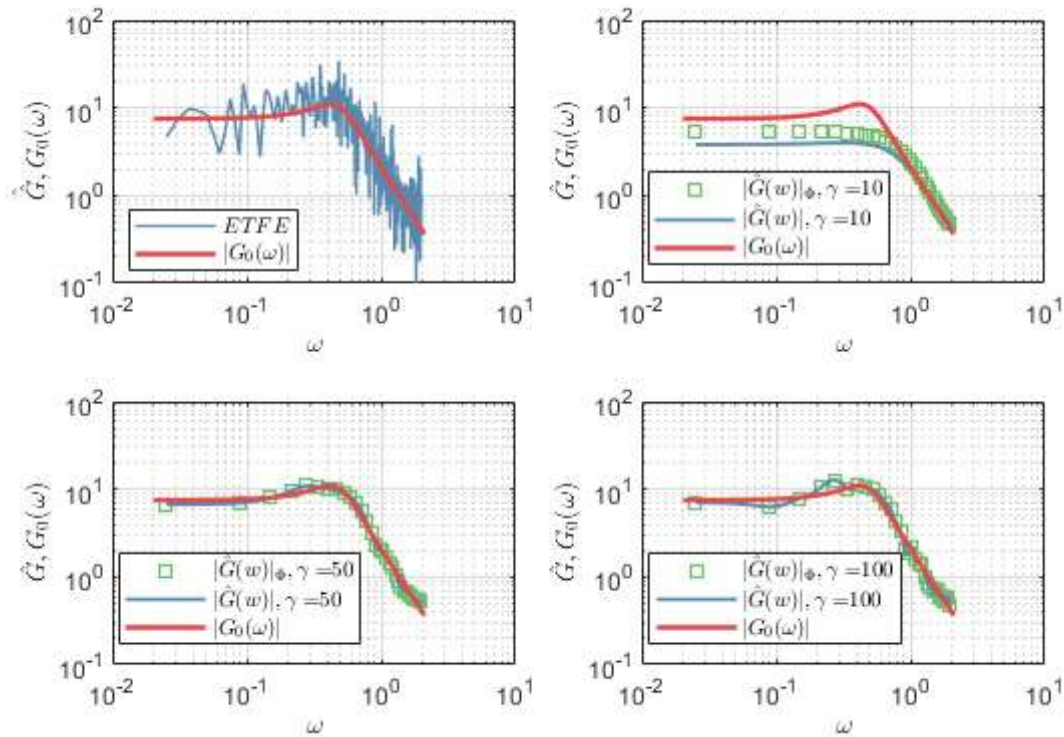
Agora, analisando o impacto dos vários valores de  $\gamma$ , é possível concluir que, com o aumento da largura da janela, há uma maior oscilação do polinômio estimado  $\hat{G}(\omega)$ . Essa observação pode ser justificada de duas formas:

- Uma janela mais larga, isto é, maiores  $\gamma$ , pondera (com pesos não nulos) frequências mais distantes de  $\omega_0$  na obtenção de  $\hat{G}(\omega_0)$ . Dessa forma, há uma menor variância da estimativa.
- Entretanto, uma janela mais larga considera estimativas de frequências cada vez mais longes de  $\omega_0$ . Sendo assim, os valores esperados de  $\hat{G}(\omega_0)$  podem oscilar, gerando um alto BIAS.

Logo, é evidente que devemos procurar o ponto ótimo entre BIAS e variância de  $\hat{G}(\omega)$ . A otimização dessa relação de compromisso é facilmente visualizada na [Figura 2](#), para qual a melhor estimativa de  $\hat{G}(\omega)$  foi encontrada para  $\gamma = 50$  (valor intermediário). É importante destacar que essa relação depende do número de amostras, uma vez que  $N$  influencia a resolução das TDFs.

Em seguida, as estimativas  $\hat{G}_N(e^{j\omega})$  e  $\hat{G}_N(e^{j\omega})$  para a janela de Bartlett e  $\gamma \in \{10, 50, 100\}$  podem ser observados na [Figura 3](#).

myBartlett

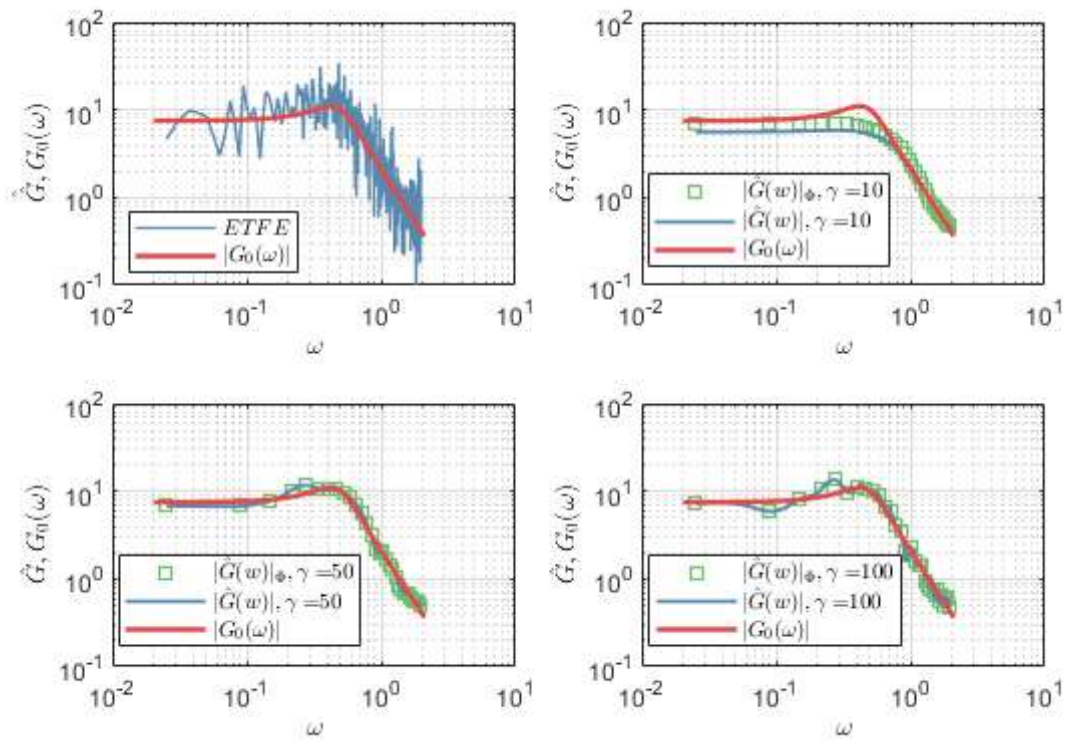


**Figura 3:** Estimativas  $\hat{G}_N(e^{j\omega})$  e  $\hat{G}_N(e^{j\omega})$  para a janela de Bartlett e  $\gamma \in \{10, 50, 100\}$ .

Comparando a [Figura 2](#) com a [Figura 3](#), é evidente a aproximação das estimativas para  $\gamma = 50$  e  $\gamma = 100$  para os dois tipos de janela. Todavia, para  $\gamma = 10$ , o janelamento de Bartlett não valida a aproximação  $\lim_{N \rightarrow \infty} |U_N(\xi)|^2 \approx \Phi_u(\xi)$ . Entretanto, esse erro pode ser minimizado aumentando o número de amostras  $N$ . Para tal, você (usuário), pode alterar o  $N$  no código myInput e re-executar as células dessa seção.

Por fim, para o janelamento de Hamming, encontra-se as estimativas ilustradas na [Figura 4](#).

myHamming



**Figura 4:** Estimativas  $\hat{G}_N(e^{j\omega})$  e  $\hat{G}_N(e^{j\omega})$  para a janela de Hamming e  $\gamma \in \{10, 50, 100\}$ .

Assim como para a formulação de Bartlett, para  $\gamma = 10$ , o janelamento de Hamming não valida a aproximação  $\lim_{N \rightarrow \infty} |U_N(\xi)|^2 \approx \Phi_u(\xi)$ . Esse erro pode, novamente, ser minimizado aumentando o número de amostras  $N$ .

## Referências bibliográficas

[1] L. LJUNG. **System Identification: Theory for the User**. Pearson, 1998. 2nd edition, ISBN 9788131744956.